



---

## ***Corso di Robotica 2***

# **Pianificazione del moto tra ostacoli**

## **Metodi**

Prof. Alessandro De Luca

DIPARTIMENTO DI INFORMATICA  
E SISTEMISTICA ANTONIO RUBERTI



**SAPIENZA**  
UNIVERSITÀ DI ROMA



# Metodi di pianificazione

quattro grandi categorie di metodi

1. basati su una **roadmap** (mappa stradale) di  $C_{\text{free}}$ 
  - grafo di visibilità (visibility graph)
  - ritrazione (diagrammi di Voronoi)
2. basati su una **decomposizione in celle** di  $C_{\text{free}}$ 
  - esatta
  - approssimata
3. **probabilistici** (randomizzati) per **elevate dimensioni**
  - PRM
  - RRT bidirezionale
4. basati sull'uso di **potenziali artificiali**
  - nello spazio delle configurazioni
  - nello spazio di lavoro (per robot articolati)
  - adatti alla pianificazione **in linea sensor-based**



# Valutazione dei metodi

---

- proposti in origine per il **problema base** di pianificazione
  - in particolare per  $W = R^2$  e oggetti poligonali
- **completezza**
  - terminazione dell'algoritmo con una soluzione (se esiste) o riportando fallimento
- **complessità**
  - di spazio, di tempo
- **flessibilità**
  - possibilità di estendere l'algoritmo a situazioni più complesse
  - in particolare a  $W = R^3$  e/o a robot articolati (elevate dimensioni di C)
- **non** tutti i metodi richiedono una costruzione **esplicita** dello spazio delle configurazioni libere



# Complessità

- valutazione delle **prestazioni** di un algoritmo di soluzione
  - in condizioni ottimali, uguale alla complessità intrinseca del problema
- in funzione di una **misura n della dimensione** dell'input
  - $n = \{\text{dimensione di } C, \text{ numero dei vertici degli ostacoli, numero dei vincoli polinomiali che definiscono la forma degli ostacoli, ...}\}$
- **complessità** (tipicamente, nel **caso peggiore**)
  - temporale  $T(n)$ : tempo necessario per l'esecuzione
  - spaziale  $S(n)$ : memoria necessaria per l'esecuzione
- interessa il **comportamento asintotico** (per **n grande**)
  - $O(f(n)) :=$  insieme delle funzioni reali  $g(n)$  per cui  $\exists \alpha, n_0$  tali che  $g(n) < \alpha f(n)$ , per  $n > n_0$
- algoritmi in tempo **polinomiale** [ $O(n)$ ,  $O(n \log n)$ ,  $O(n^2)$ , ...] sono realizzabili (anche per n grande) vs. tempo **esponenziale** ...



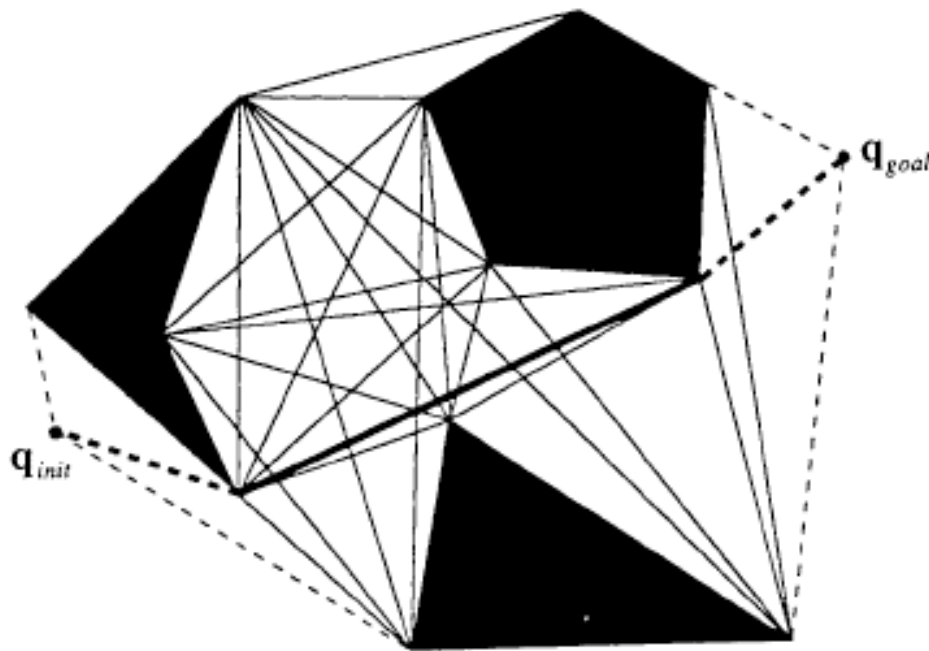
# Grafo di visibilità

- formulazione originale
  - $C = \mathbb{R}^2$ , CB regione poligonale
    - robot puntiforme in  $W = \mathbb{R}^2$
    - robot poligonale a orientamento costante in  $W = \mathbb{R}^2$
- **teorema di riferimento**
  - esiste un cammino **semilibero** tra ogni coppia di configurazioni  $(q_{\text{init}}, q_{\text{goal}})$  **se e solo se** esiste una **spezzata**  $\tau$  contenuta in  $\text{cl}(C_{\text{free}})$ , con estremi in  $q_{\text{init}}$  e  $q_{\text{goal}}$  e tale che i vertici di  $\tau$  siano vertici di CB
- **conseguenze**
  - è sufficiente considerare solo l'insieme dei segmenti in  $\text{cl}(C_{\text{free}})$  ("roadmap") che congiungono i vertici di CB ("visibili tra loro")
    - aggiungendo, per ogni "query" specifica,  $q_{\text{init}}$  e  $q_{\text{goal}}$  ai vertici
  - tale insieme contiene il cammino a lunghezza (euclidea) **minima**



# Costruzione del Visibility Graph

- grafo  $VG(N,A)$  (non orientato) con
  - $N = \{\text{vertici di CB, } q_{init}, q_{goal}\}$
  - $A = \{\text{segmenti tra nodi in } N, \text{ o in } C_{free} \text{ o lati di CB}\}$



- la maggior parte del grafo si costruisce senza  $q_{init}, q_{goal}$  (rimane valido per "multiple queries" successive)
- per una data "query", si aggiungono gli archi visibili a partire da  $q_{init}$  e  $q_{goal}$
- **soluzione**: ricerca di un cammino sul grafo  $VG(N,A)$  da  $q_{init}$  e  $q_{goal}$



# Algoritmo di pianificazione

## 1. costruzione di $VG(N,A)$

- metodo "ingenuo": considerare tutte le coppie di nodi in  $N$  e verificare le intersezioni del segmento congiungente con i lati di  $CB$ ...  $\Rightarrow$  complessità  $O(n^3)$
- con una opportuna struttura dati  $\Rightarrow O(n^2)$

## 2. ricerca di un cammino minimo su $VG(N,A)$

- pesi  $c(N_i, N_j)$  degli archi dati dalle distanze euclidee tra i nodi
- algoritmo di Dijkstra (non informato)
- algoritmo  $A^*$  informato dalla euristica  $h(N_i) = \|q_i - q_{goal}\|$ 
  - sottostima sempre il "cost-to-go"
- complessità  $O(k \log n)$

nodì  $N_i$  e  $N_g$

$n = \#$  vertici di  $CB$ ,  $k = \#$  archi di  $VG$



# Algoritmo A\*

- ogni nodo  $N_i$  è memorizzato con una **lista di nodi adiacenti**  $ADJ(N_i)$
- costruzione di un **albero**  $T$  dei cammini minimi (intermedi) correnti
- visita/marcatura e inserimento/prelievo dei nodi in una **lista ordinata**  $OPEN$
- **stima del costo** di un cammino che passa per  $N_i$ :  $f(N_i) = g(N_i) + h(N_i)$ .
- **inizializzazione**:  $T = \{N_s\}$ ,  $OPEN = \{N_g\}$

costo del cammino  
corrente da  $N_s$  a  $N_i$  in  $T$

euristica sul  
cost-to-go

Algoritmo  $A^*$

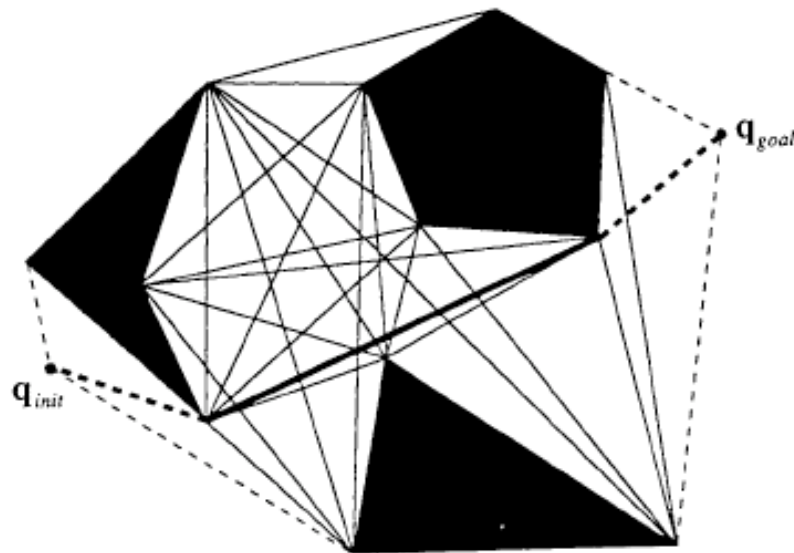
```
1  repeat
2    trova ed estrai il nodo  $N_{best}$  in  $OPEN$ 
3    if  $N_{best} = N_g$  then esci dal ciclo
4    for ogni nodo  $N_i$  in  $ADJ(N_{best})$  do
5      if  $N_i$  è non visitato then
6        aggiungi  $N_i$  a  $T$  con un puntatore verso  $N_{best}$ 
7        inserisci  $N_i$  in  $OPEN$ ; marca  $N_i$  visitato
8      else if  $g(N_{best}) + c(N_{best}, N_i) < g(N_i)$  then
9        ridirigi il puntatore di  $N_i$  in  $T$  verso  $N_{best}$ 
10     se  $N_i$  non è in  $OPEN$ , inseriscilo; altrimenti aggiorna  $f(N_i)$ 
11     end if
12  until  $OPEN$  è vuota
```



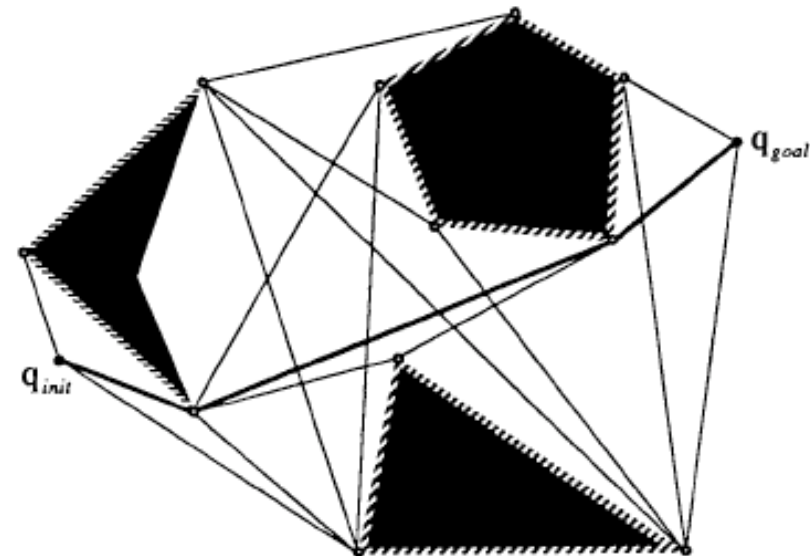


# Grafo ridotto di visibilità

- alcuni archi non possono mai far parte di un cammino minimo: conviene **eliminarli**, riducendo la complessità della ricerca sul grafo
- nel **grafo ridotto** rimangono solo i **segmenti tangenti**
  - quelli appartenenti a rette che "non tagliano" i C-ostacoli a cui appartengono i loro estremi (nodi del grafo)



grafo **completo**

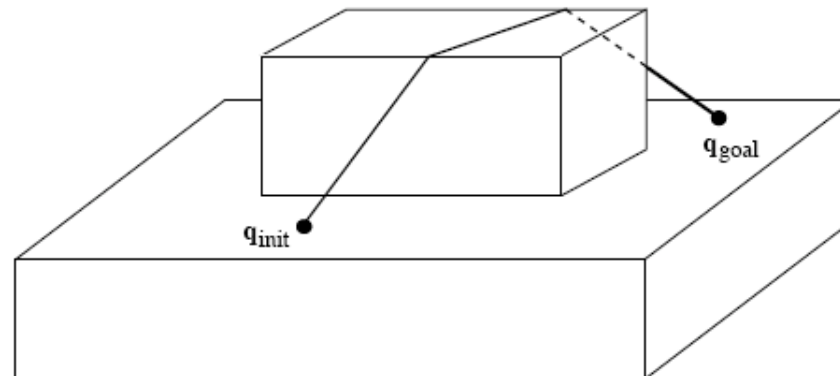


grafo **ridotto**



# Estensioni

- per C-ostacoli in  $R^2$  che sono **poligoni generalizzati** (con frontiera costituita di tratti rettilinei o circolari)
  - grafo di visibilità generalizzato
- per C-ostacoli **poliedrali** in  $R^3$ 
  - si può lavorare in modo **conservativo** (tagliando eventuali soluzioni) solo con i **vertici**, ma il cammino trovato con A\* non è detto sia minimo
  - i cammini ottimi passano infatti per gli **spigoli** (infiniti punti!)  
⇒ **problema NP-hard**





# Metodi di ritrazione

- formulazione originale
  - $C = \mathbb{R}^2$ , CB regione poligonale
- **idea**
  - definire un'opportuna applicazione continua:  $C_{\text{free}} \rightarrow \mathbb{R}$  rete mono-dimensionale di curve in  $C_{\text{free}}$
- **ritrazione** (in generale)
  - **mappa suriettiva**  $r: X \rightarrow Y$  (spazi topologici), con  $Y \subset X$ , tale che  $r(Y) = Y$
  - **$r$  preserva la connettività** di  $X$  se,  $\forall x \in X$ ,  $x$  e  $r(x)$  sono nella stessa componente connessa di  $X$
- **teorema di riferimento**
  - sia  $r: C_{\text{free}} \rightarrow \mathbb{R}$  una ritrazione che preserva la connettività di  $C_{\text{free}}$ ; esiste un cammino **libero** tra una coppia di configurazioni  $(q_{\text{init}}, q_{\text{goal}})$  **se e solo se** esiste una **cammino su  $\mathbb{R}$**  tra  $r(q_{\text{init}})$  e  $r(q_{\text{goal}})$



# Diagramma di Voronoi

clearance

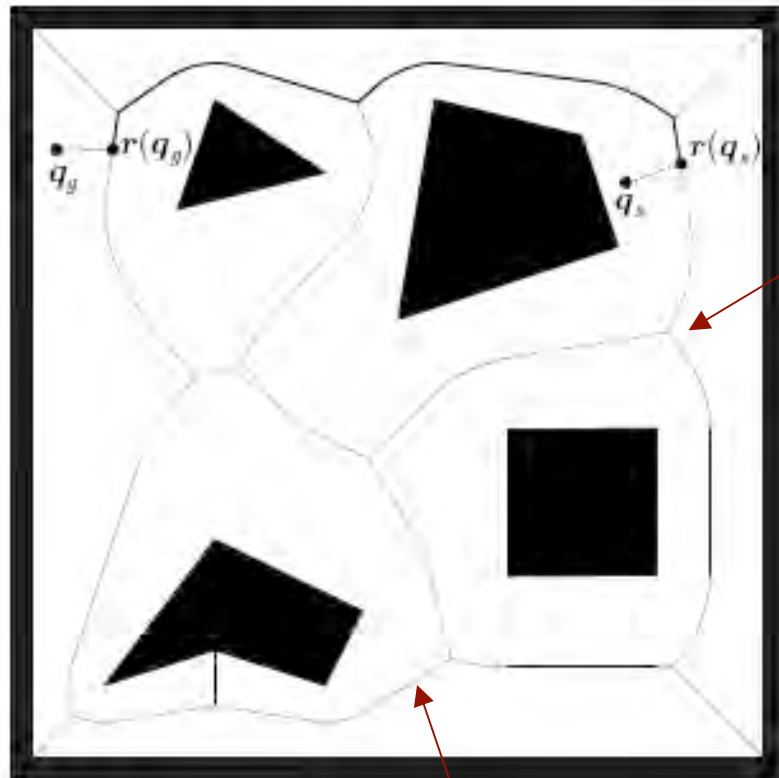
$$\gamma(\mathbf{q}) = \min_{s \in \partial \mathcal{C}_{\text{free}}} \|\mathbf{q} - s\|$$

insieme dei punti vicini (sulla frontiera di CB)

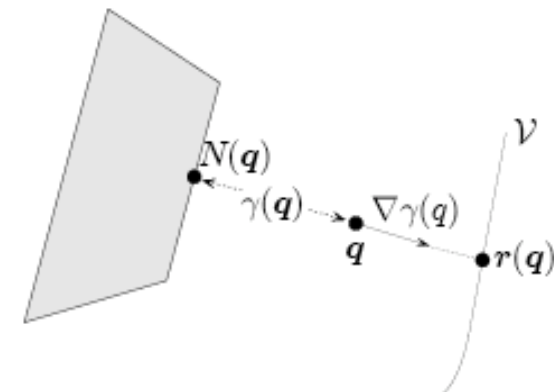
$$N(\mathbf{q}) = \{s \in \partial \mathcal{C}_{\text{free}} : \|\mathbf{q} - s\| = \gamma(\mathbf{q})\}$$

diagramma (generalizzato) di Voronoi

$$\mathcal{V}(\mathcal{C}_{\text{free}}) = \{\mathbf{q} \in \mathcal{C}_{\text{free}} : \text{card}(N(\mathbf{q})) > 1\}$$



costituito da tratti **rettilinei** (lato/lato o vertice/vertice) o **parabolici** (lato/vertice)



funzione continua di **ritrazione**  $r(\mathbf{q})$

rete di cammini a **max clearance** = più "sicuri"



# Algoritmo di pianificazione

## 1. costruzione di $\mathcal{V}(\mathcal{C}_{\text{free}})$

- metodo "ingenuo": considerare tutte le coppie (lato/lato), (vertice/vertice), (lato/vertice) --che sono  $O(n^2)$ , e calcolare l'intersezione di tutte le corrispondenti curve equidistanti ...  
⇒ complessità  $O(n^4)$
- poiché il # totale di archi di  $\mathcal{V}(\mathcal{C}_{\text{free}})$  è  $O(n)$  ⇒ è possibile scendere a  $O(n \log n)$

## 2. calcolo di $r(q_{\text{init}})$ e $r(q_{\text{goal}})$

- usando il **gradiente** della clearance ⇒ complessità  $O(n)$

## 3. ricerca di un cammino su $\mathcal{V}(\mathcal{C}_{\text{free}})$ tra $r(q_{\text{init}})$ e $r(q_{\text{goal}})$

- **stesse** considerazioni della ricerca sul grafo di visibilità
  - eccetto per la minimalità della lunghezza dei cammini
- complessità  $O(n)$



# Decomposizione in celle

- **decomporre**  $C_{\text{free}}$  in regioni semplici (**celle**)
  - celle convesse: cammini interni lineari sempre ammissibili
  - passaggio tra celle contigue generabile immediatamente
- un **grafo di connettività** rappresenta la relazione di **adiacenza** tra celle (nodi del grafo)
- pianificazione di un **canale**
  - sequenza di celle adiacenti, con  $q_{\text{init}}$  e  $q_{\text{goal}}$  nelle due celle estreme
  - dato un canale, trovare un cammino libero è banale (il cammino non è unico, per cui si ha più flessibilità)
- decomposizione **esatta**
  - unione delle celle =  $C_{\text{free}}$ , le frontiere corrispondono a **criticalità**
- decomposizione **approssimata**
  - $C_{\text{free}}$  approssimato (per **difetto**) da celle di forma predefinita

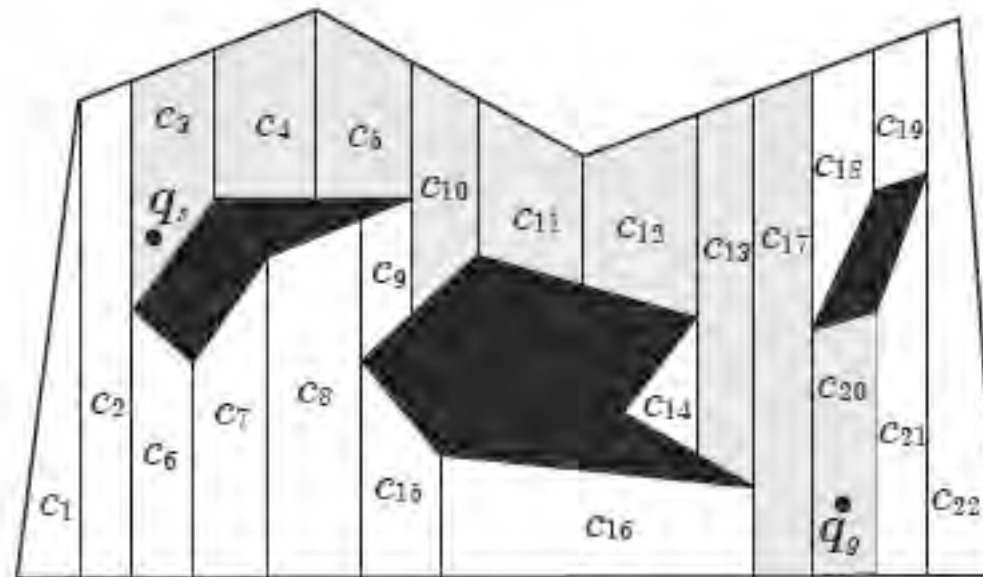


# Decomposizione esatta in celle

- formulazione originale
  - $C = \mathbb{R}^2$ , CB regione poligonale
- decomposizione esatta con celle convesse poligonali (senza intersezioni)
  - in modo ottimo (minimo # di poligoni)  $\Rightarrow$  problema NP-completo
  - in modo efficiente con celle trapezoidali ottenute dall' algoritmo sweep-line  $\Rightarrow$  complessità  $O(n \log n)$

direzione di sweep  $\rightarrow$

transizioni critiche:  
ogni volta che la sweep-line incontra un vertice di CB

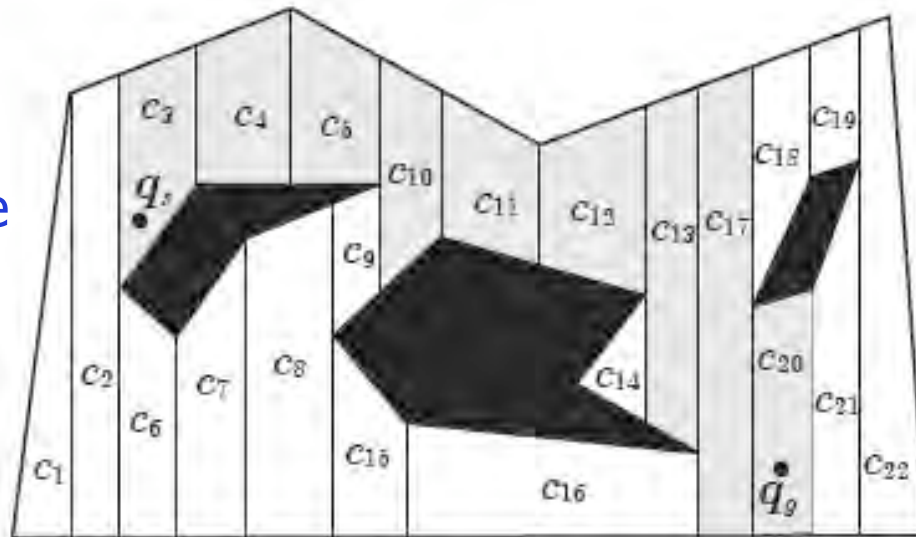


... un canale di celle adiacenti (in grigio)



# Canali e grafo di connettività

decomposizione  
esatta con  
sweep-line



grafo di  
connettività

nodi = solo le celle  
per la ricerca di  
un canale da  $q_s$  a  $q_g$



transizione  
tra celle contigue  
nel punto intermedio  
del segmento  
comune



grafo modificato con  
nodi = {centro celle, punti  
di transizione,  $q_s$ ,  $q_g$ }

pesi archi =  
distanze tra i nodi



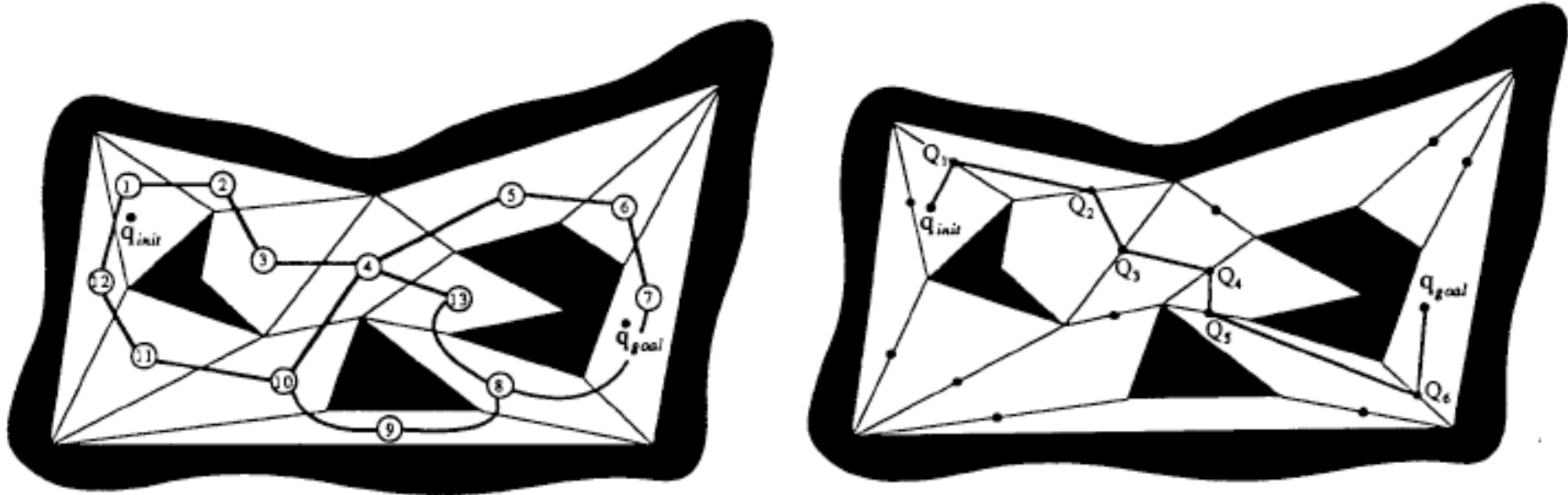
ricerca del  
cammino  
minimo con  $A^*$   
 $\Rightarrow O(n \log n)$





# Esempio di pianificazione

- con una decomposizione **ottimale** in celle poligonali
  - qui basta inserire nel grafo solo i nodi = {punti di transizione,  $q_s$ ,  $q_q$ }

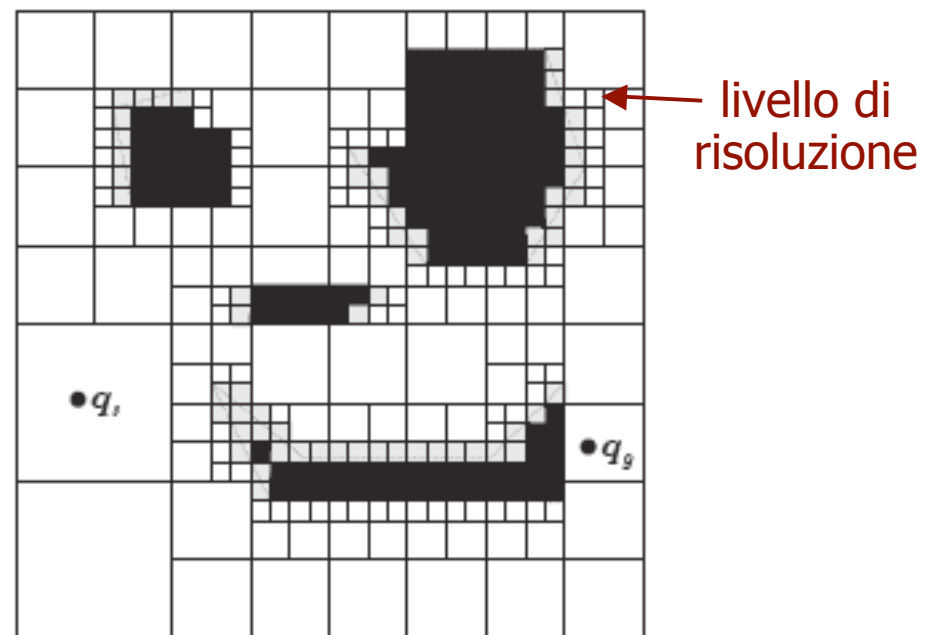
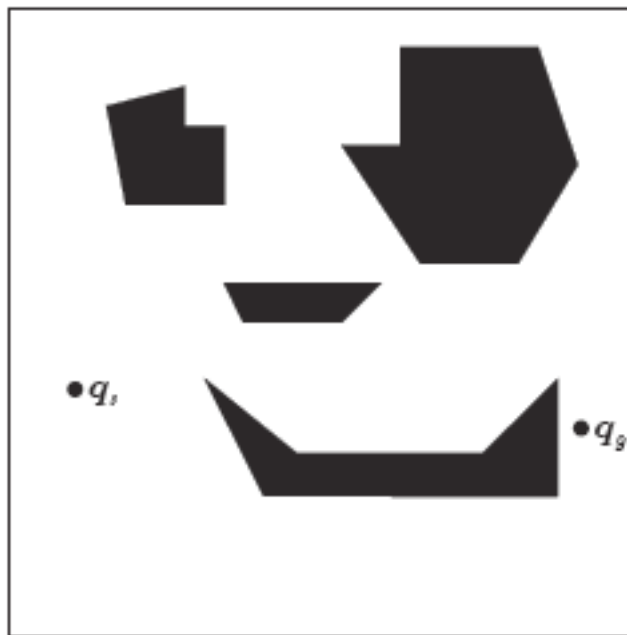


- il cammino finale può essere approssimato con uno **più "smooth"** (sfruttando i margini di sicurezza presenti)
- **lunghezza** finale del cammino:  $\approx$  intermedia tra VG e Voronoi



# Decomposizione approssimata in celle

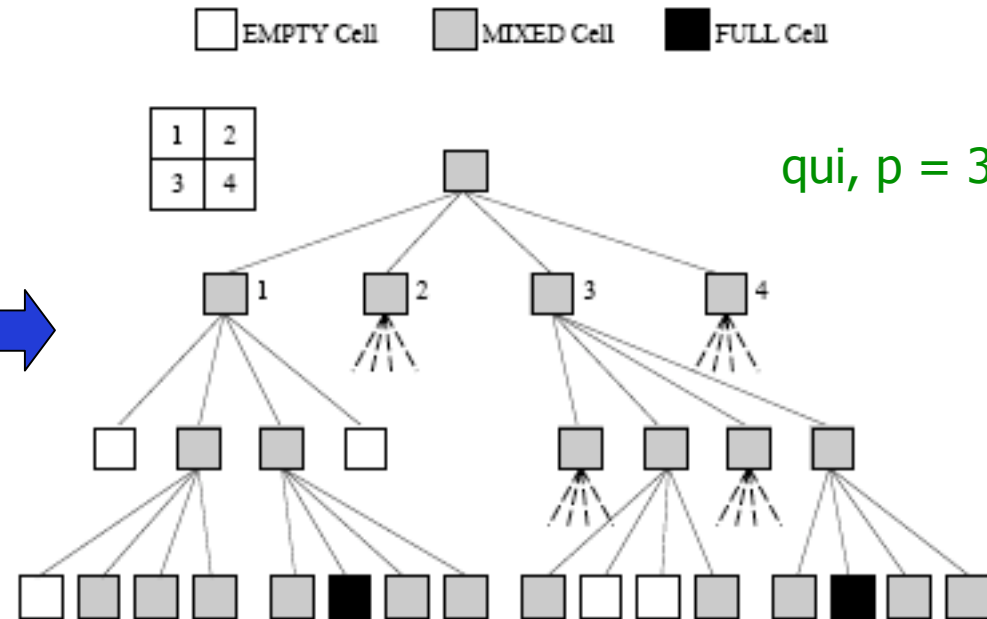
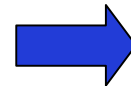
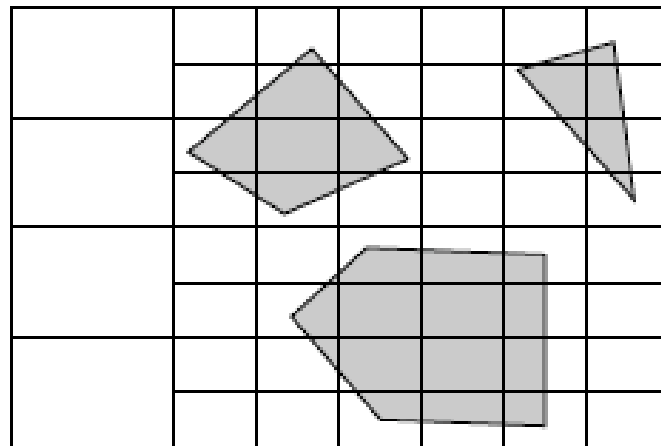
- formulazione originale:  $C = \mathbb{R}^2$ , ma con regione CB **qualsiasi** (in principio)
- uso di celle di forma regolare (**ipercubi**) ma di dimensione non uniforme
- celle **libere**, **occupate**, **miste** (da decomporre in modo **ricorsivo**)
- struttura dati: **quadtrees in  $\mathbb{R}^2$**  = albero di nodi (celle) con **quattro** foglie
  - la ricerca di cammini su un albero è più rapida
- ad un data profondità di decomposizione: **unione delle celle libere  $\subset C_{\text{free}}$**





# Esempio di quadtree

CB = poligoni in  $C = \mathbb{R}^2$

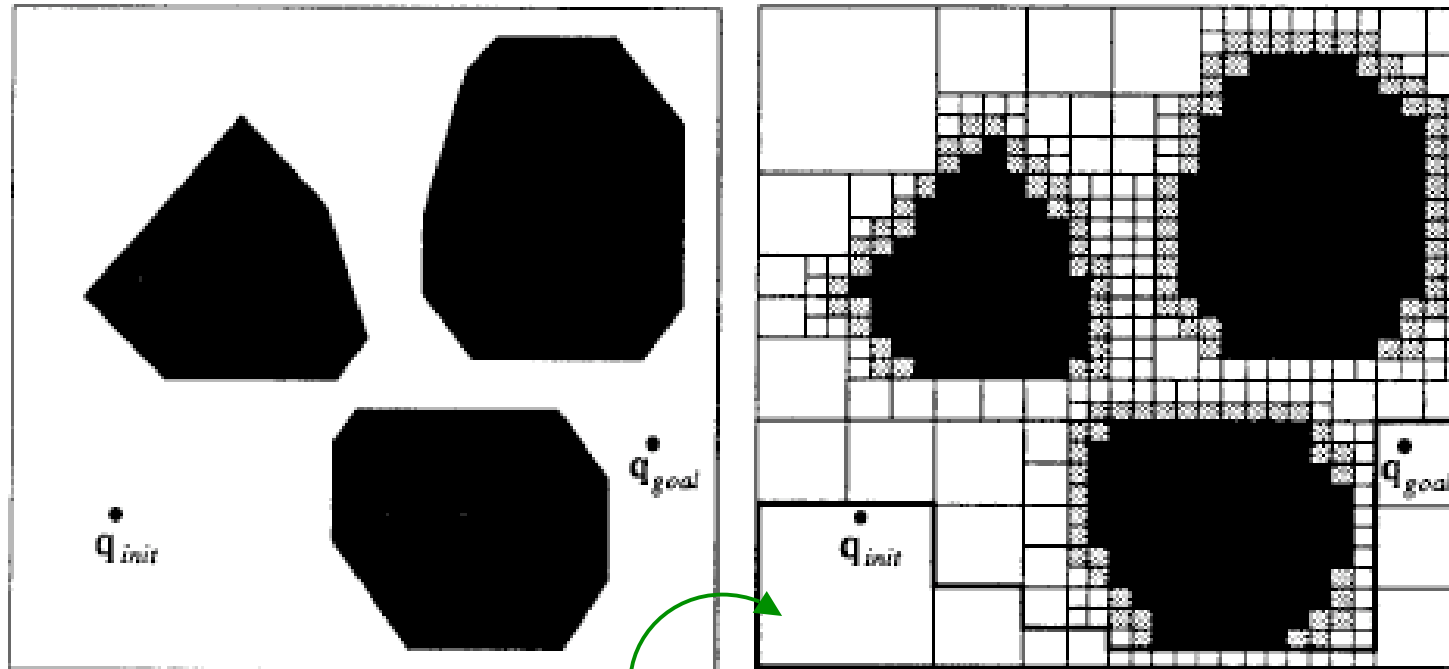


- albero in generale "sbilanciato", con un # di celle  $\leq 2^{2p}$ , dove  $p$  è la massima "profondità" esplorata
  - ci si può fermare ad una dimensione minima prefissata delle celle
  - per una query specifica, quando si trova un cammino di celle libere (empty) tra le due foglie contenenti  $q_{init}$  e  $q_{goal}$



# Esempio di pianificazione

- qui,  $n=2$  (quadtree) con profondità  $p = 5$



poi come per decomposizione esatta:  
canale, grafo di connettività, ...

- estendibile a  $C=R^n$  ( $2^n$ -tree), ma complessità **esponenziale** (mai  $n > 4$  o  $5$ )
- metodo **completo a livello della risoluzione** scelta

# Confronto tra pianificatori completi



metodo	C base	complessità di tempo	complessità di spazio	estensioni
grafo di visibilità	$\mathbb{R}^2$	$O(n^2)$	$O(n^2)$	CB poligoni generalizzati, in $C = \mathbb{R}^3$ con CB poliedri
diagramma di Voronoi generalizzato	$\mathbb{R}^2$	$O(n \log n)$	$O(n)$	CB poligoni generalizzati, Voronoi 3D
decomposizione poligonale esatta	$\mathbb{R}^2$	con sweep-line $O(n \log n)$	$O(n)$	in $C = \mathbb{R}^3$ con CB poliedri

$n = \#$  vertici di CB



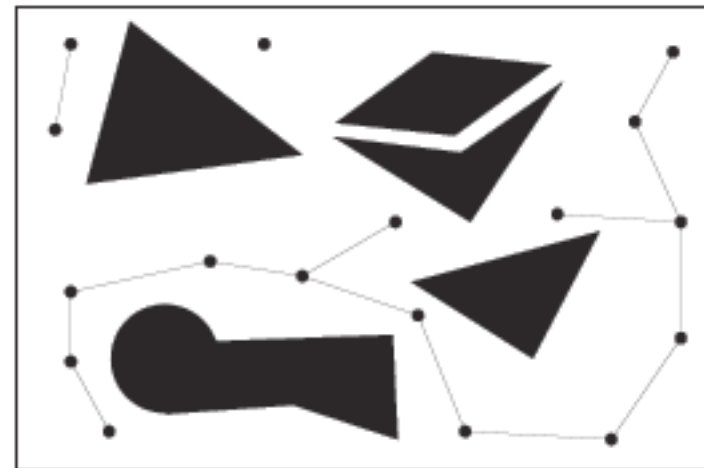
# Metodi probabilistici

- per spazi delle configurazioni  $C$  di **dimensioni elevate**
  - gestiscono bene molti ostacoli, passaggi stretti, ...
- basati sul **campionamento** di  $C$ 
  - **deterministico** su griglia regolare  $\Rightarrow$  non efficiente
  - **randomizzato** (con eventuale polarizzazione)  $\Rightarrow$  **molto efficace!**
- un campione scelto da  $C$  viene **testato** rispetto **a collisioni**
  - il "collision check" avviene sempre nel workspace ...
  - se il campione è ammissibile (ossia è in  $C_{free}$ ) viene aggiunto ad un set utile, altrimenti è scartato
- si collegano i campioni utili ai precedenti
  - solo se possibile, usando **cammini elementari liberi** (check!)
  - costruzione incrementale di una **roadmap** a sufficiente connettività
- una miriade di versioni... (spesso con diverse euristiche)



# Probabilistic roadmap (PRM)

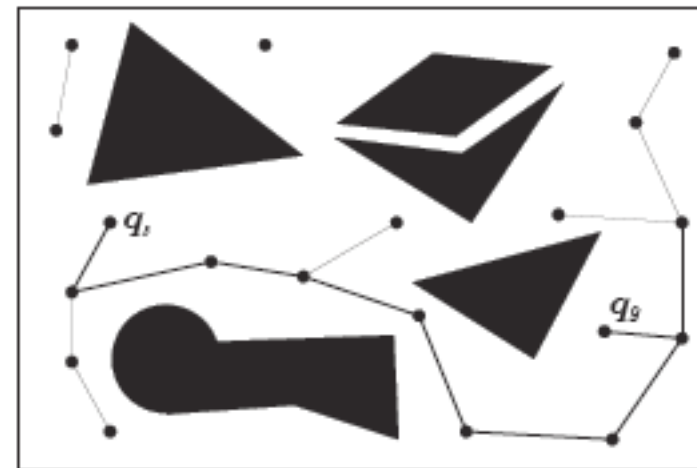
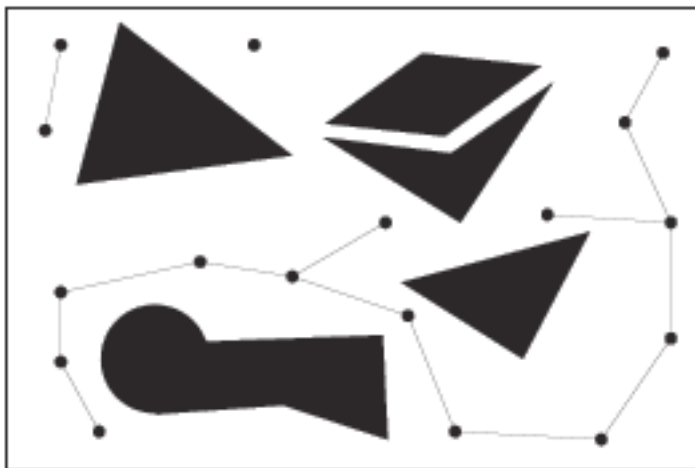
- **inizializzazione** della roadmap  $R(N,A)$ 
  - $A=\emptyset$ ;  $N=\{q_s, q_g\}$  per una **single query**
  - $A=\emptyset$ ;  $N=\emptyset$  prima di una serie di istanze del problema (**multiple queries**)
- **iterazione** generica
  - **generare**  $q_{rand}$  con distribuzione di **probabilità uniforme** in  $C$
  - **test di collisione** per  $q_{rand}$ ; se ok,  $q_{rand} \rightarrow N$ ; else loop
  - **pianificatore locale**: test di collisione su cammino elementare (ad es., rettilineo) tra  $q_{rand}$  e  $q_{near} \in N$ ; se ok, arco  $(q_{near}, q_{rand}) \rightarrow A$ ; else loop
- criteri di **arresto**
  - # max iterazioni
  - # componenti connesse di  $N$  inferiore a limite assegnato
- varianti
  - distribuzione **non uniforme**, polarizzando la generazione verso regioni di  $C$  con pochi campioni (passaggi **stretti**)





# Pianificazione con PRM

- **single query**
  - ricerca di un cammino tra  $q_s$  e  $q_g$  su  $R(N,A)$  (devono essere nella **stessa componente connessa**)
  - se non esiste, si continua ad "arricchire"  $R$  (fino a un limite di tempo)
- **multiple query**
  - come prima, avendo aggiunto e connesso la coppia  $q_s$  e  $q_g$  a  $R$  del caso
  - la roadmap "migliora con l'uso"
- strategia di arricchimento: cercare di connettere componenti diverse

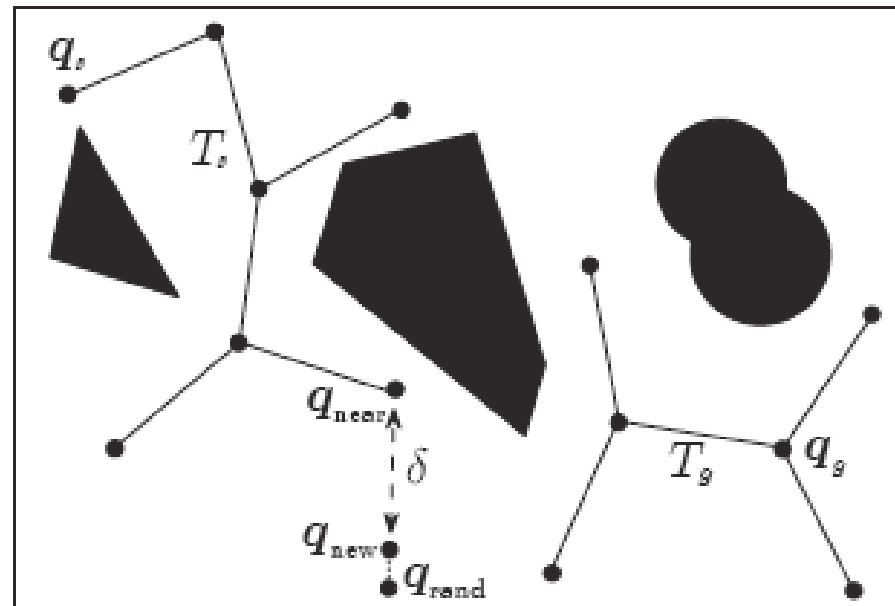






# Algoritmo RRT

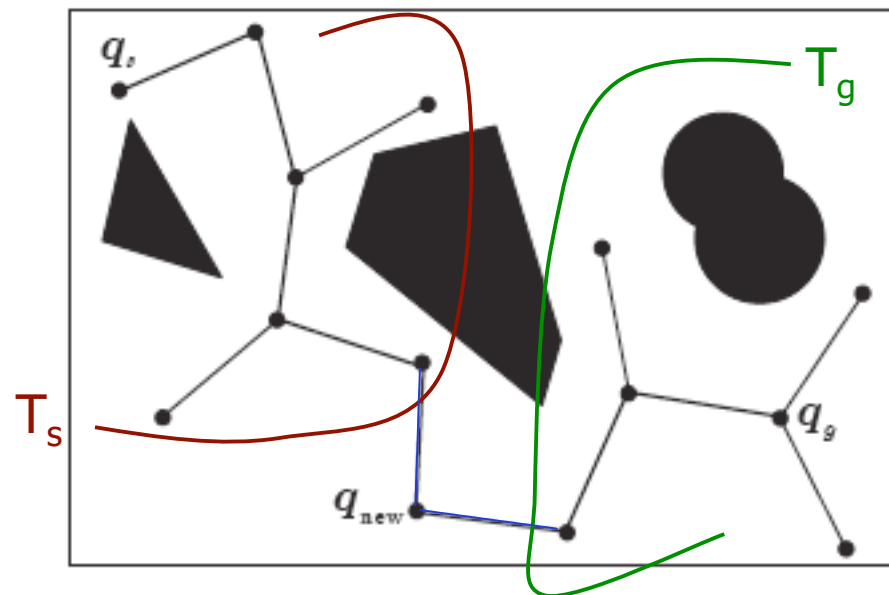
- Rapidly-exploring **R**andom **T**ree  $T(N,A)$ : è un metodo **single-query**
  - esplora solo le regioni di  $C$  utili per il singolo problema considerato
  - genera  $q_{rand}$  con distribuzione di **probabilità uniforme** in  $C$  (**senza test!**)
  - calcola  $q_{new} = q_{near} + \delta q_{rand}$ , con passo  $\delta \leq 1$  prefissato (o variabile)
  - **test di collisione** su  $q_{new}$  e sul segmento aperto  $(q_{near}, q_{new})$ ; se entrambi ok,  $T$  è espanso:  $q_{new} \rightarrow N$ ,  $(q_{near}, q_{new}) \rightarrow A$ ; else loop





# RRT bidirezionale

- si velocizza la ricerca espandendo **due alberi** in parallelo
  - $T_s$  (dallo start) e  $T_g$  (dal goal)
- si tenta di **connettere i due alberi** dopo un certo numero di iterazioni
  - **test di collisione** sul **segmento** tra  $q_{new}$  (generato da  $T_s$ ) e  $q_{near} \in T_g$ ; se ok, l'espansione connette i due alberi; else, si aggiunge a  $T_s$  solo l'eventuale tratto privo di collisioni
  - si ripete il tentativo **scambiando** i ruoli di  $T_s$  e  $T_g$  (**bidirezionalità**)
  - se dopo un certo numero di tentativi non si ottiene connessione, si ritorna alla fase di espansione in parallelo dei due alberi (ancora **troppo lontani...**)



# Commenti sui metodi probabilistici

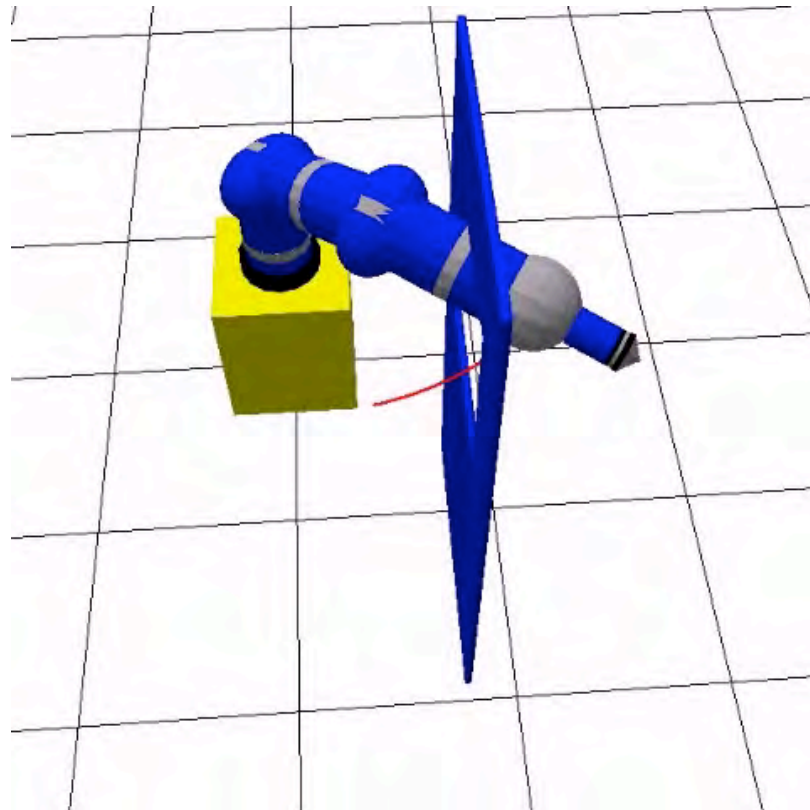


- **facili** da implementare
- **veloci**, scalabili
  - vari ordini di grandezza in meno dei metodi precedenti
- completi **in senso probabilistico**
  - la probabilità che un pianificatore trovi un cammino libero, se esiste, tende a 1 al crescere del tempo di esecuzione
- estendibili al caso di robot **con vincoli**
  - robot ridondanti rispetto al task (ad es., con organo terminale **vincolato a un cammino assegnato**)
  - robot mobili su ruote (con **vincoli anolonomi** da gestire a livello di pianificatore **locale**)
- adatti anche a task di **esplorazione sensor-based** di ambienti incogniti (costruzione di  $W_{\text{free}}$  o  $C_{\text{free}}$ )

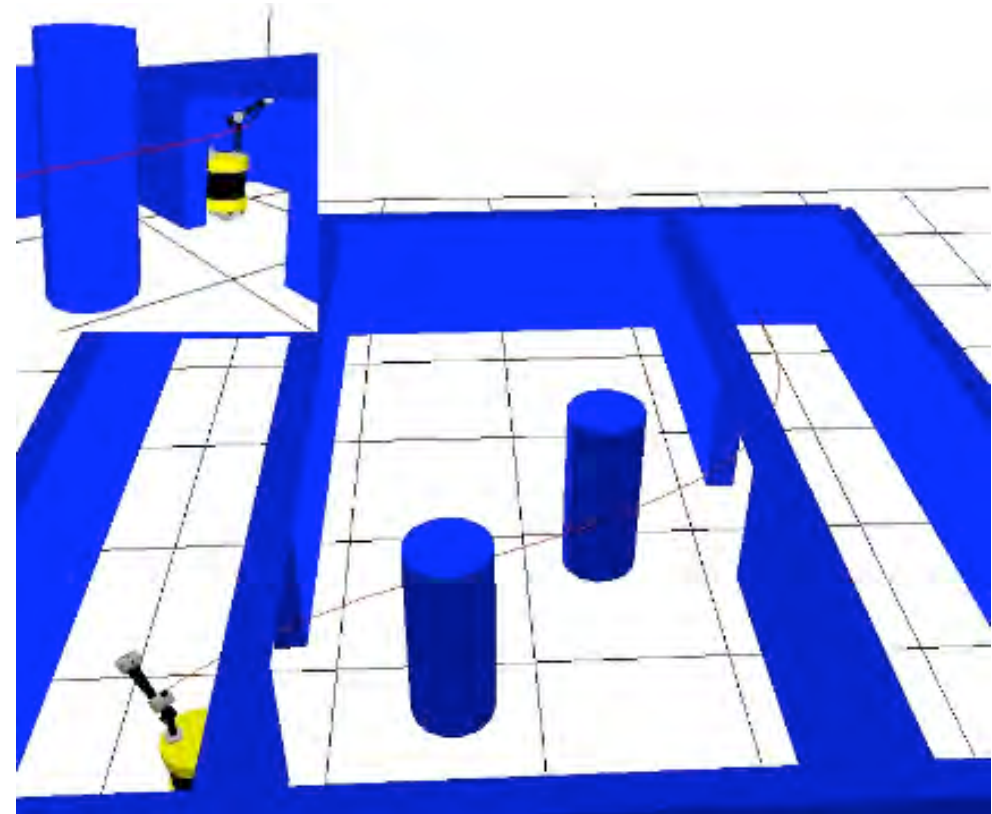


# Video

pianificazione del moto con **vincolo sul cammino** dell'organo terminale



robot 7R (DLR-like)



manipolatore mobile  
(Nomad + 3R spaziale)



# Video

esplorazione **randomizzata** di ambiente **ignoto**

Università di Roma "La Sapienza" - Laboratorio di Robotica

## Robotic Exploration with the SRT-Star Method

April 2003

esperimenti con robot mobile Magellan con 16 ultrasuoni



# Metodo dei potenziali artificiali

---

- i metodi visti finora sono adatti essenzialmente alla pianificazione fuori linea
  - con geometria e posa degli ostacoli nota e fissa
- un paradigma generale per la pianificazione in linea è basato sull'impiego di un insieme di **forze artificiali** che guidano il moto del robot
  - **derivate** in genere da un campo di **potenziali artificiali**
    - forza **attrattiva** verso il goal, forze **repulsive** dagli ostacoli
  - per ambienti noti, si usa in modo analogo ai metodi visti
    - l'essenza di  $C_{free}$  si riflette nella forma del potenziale totale
    - **non** è in genere un metodo **completo**
  - gestisce facilmente **informazioni incrementali da sensori esteroceettivi** (di vario tipo) in ambienti incogniti
    - **efficienti** in real time e **molto usati in pratica!**



# Potenziali artificiali

attrazione

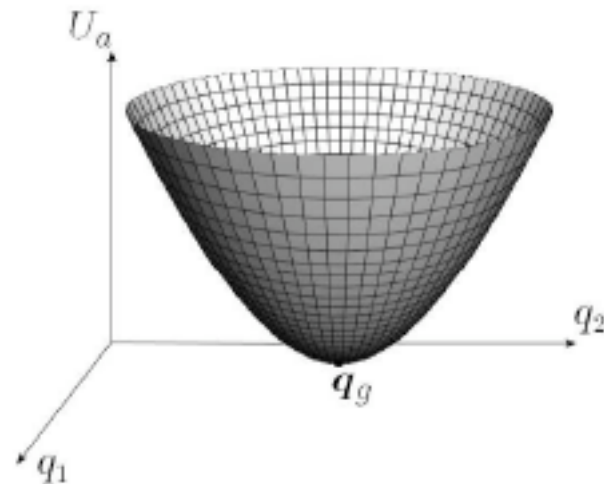
potenziale attrattivo  
verso il goal

$$e = q_g - q$$

errore (nello spazio C)

profilo parabolico

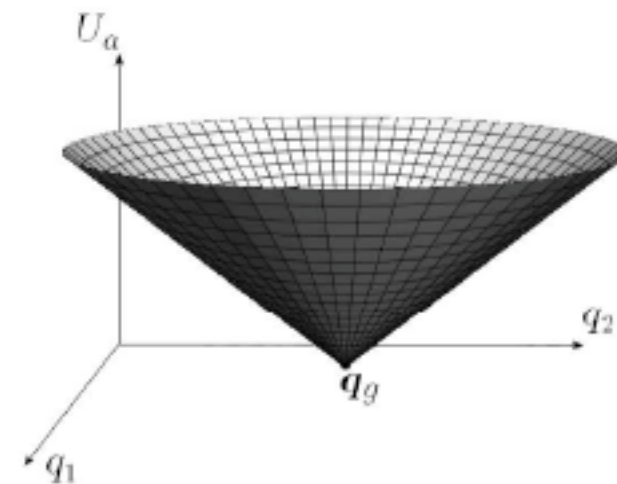
$$U_{a1}(q) = \frac{1}{2} k_a e^T(q) e(q) = \frac{1}{2} k_a \|e(q)\|^2$$



$$f_{a1}(q) = -\nabla U_{a1}(q) = k_a e(q)$$

profilo conico

$$U_{a2}(q) = k_a \|e(q)\|$$



$$f_{a2}(q) = -\nabla U_{a2}(q) = k_a \frac{e(q)}{\|e(q)\|}$$

è conveniente **raccordare** con continuità le forze dal profilo  
conico (lontano dal goal) a quello parabolico (vicino al goal)



# Potenziali artificiali

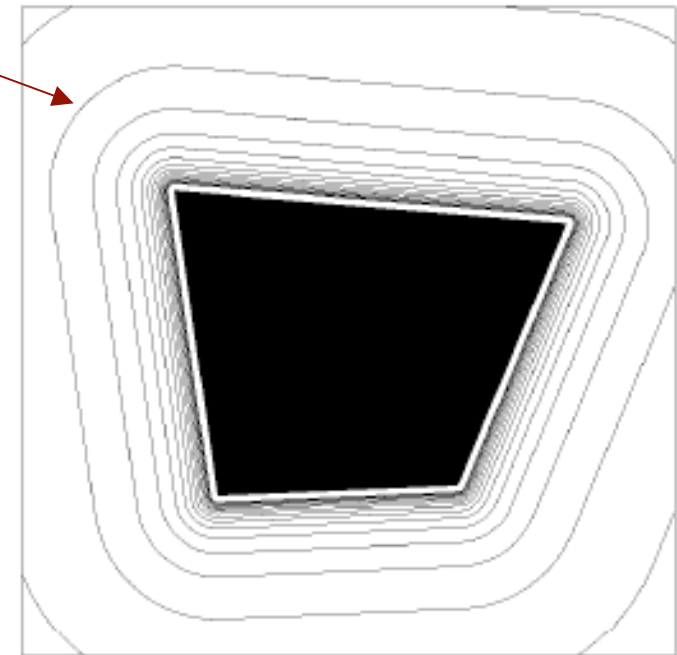
## repulsione

### potenziale repulsivo

uno per ogni ostacolo,  
se sono tutti **convessi**;  
else, uno per ogni  
**componente convessa**  $CO_i$   
della regione CB

$$\eta_i(\mathbf{q}) = \min_{q' \in CO_i} \|\mathbf{q} - \mathbf{q}'\| \quad \text{distanza (in C)}$$

curve equipotenziali



continuo/differenziabile, con **raggio di influenza**

$$U_{r,i}(\mathbf{q}) = \begin{cases} \frac{k_{r,i}}{\gamma} \left( \frac{1}{\eta_i(\mathbf{q})} - \frac{1}{\eta_{0,i}} \right)^\gamma & \text{se } \eta_i(\mathbf{q}) \leq \eta_{0,i} \\ 0 & \text{se } \eta_i(\mathbf{q}) > \eta_{0,i} \end{cases}$$

tipicamente  $\gamma = 2$  (profilo iperbolico)

(o interi superiori, che aumentano la  
rapidità di salita vicino all'ostacolo)

$$\mathbf{f}_{r,i}(\mathbf{q}) = -\nabla U_{r,i}(\mathbf{q}) = \begin{cases} \frac{k_{r,i}}{\eta_i^2(\mathbf{q})} \left( \frac{1}{\eta_i(\mathbf{q})} - \frac{1}{\eta_{0,i}} \right)^{\gamma-1} \nabla \eta_i(\mathbf{q}) & \text{se } \eta_i(\mathbf{q}) \leq \eta_{0,i} \\ 0 & \text{se } \eta_i(\mathbf{q}) > \eta_{0,i} \end{cases}$$

per come è costruita, è **continua** in tutto  $C_{\text{free}}$





# Potenziale totale

potenziale  
repulsivo  
da  $p$  ostacoli o loro  
componenti convesse

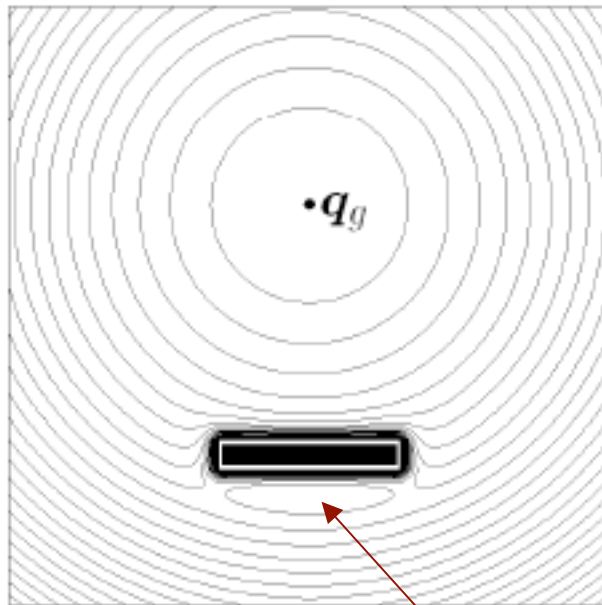
$$U_r(q) = \sum_{i=1}^p U_{r,i}(q)$$

$$U_t(q) = U_a(q) + U_r(q)$$

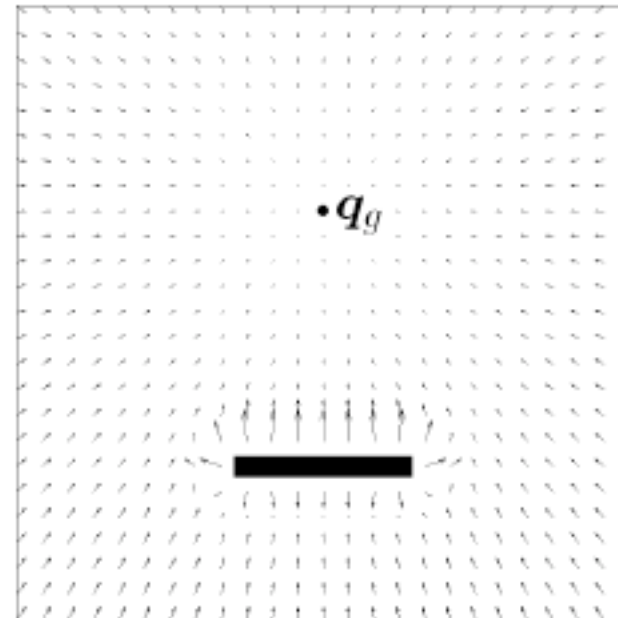
potenziale  
totale

$$f_t(q) = -\nabla U_t(q) = f_a(q) + \sum_{i=1}^p f_{r,i}(q)$$

forza artificiale totale  
(anti-gradiente ossia  
massima discesa)



problema dei minimi locali

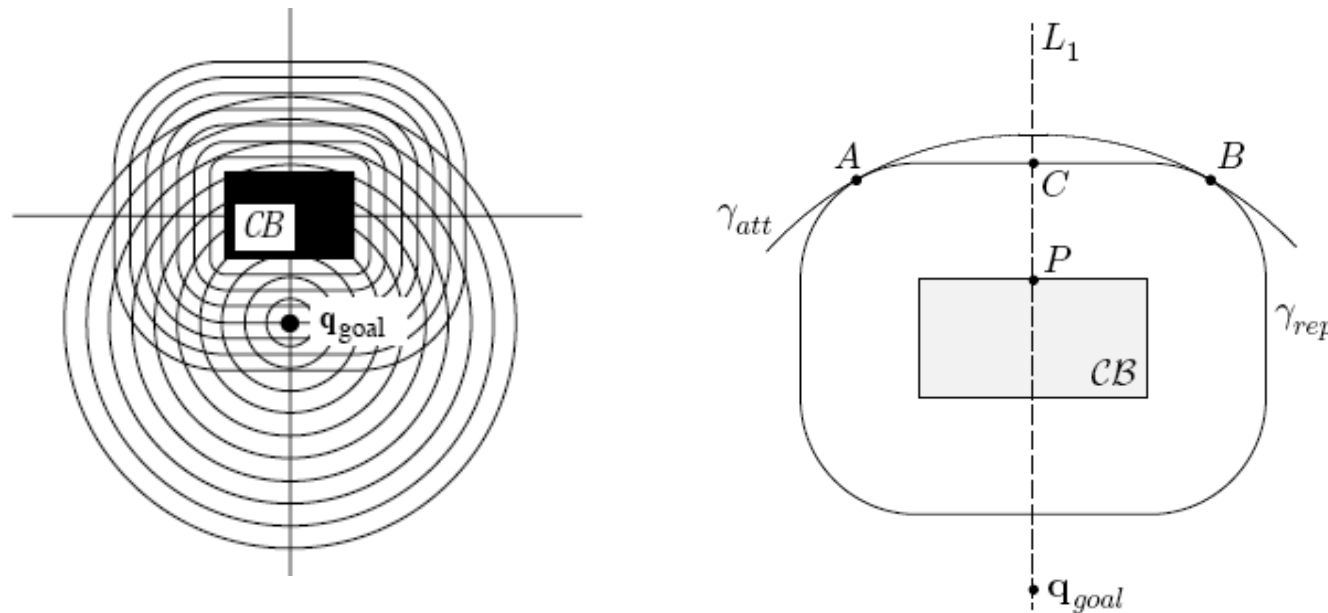


metodo non completo



# Insorgenza di minimi locali

- si ha in presenza di ostacoli con curve di livello del potenziale **repulsivo** a **curvatura inferiore** a quella delle curve di livello del potenziale attrattivo (circolari)  $\Rightarrow$  ad es., **frontiere di CB lineari**



- lungo  $L_1P$  si ha un **minimo** (attrattivo decrescente, repulsivo crescente)
- lungo  $AB$  si ha un **minimo** (potenziale totale uguale agli estremi A e B, repulsivo costante, attrattivo decrescente verso il centro C)



# Pianificazione con i potenziali

- **uso** del campo di forze artificiali
  - effettive forze generalizzate (con il modello dinamico):  $\tau = f_t(q)$ 
    - forniscono il moto più fluido
  - accelerazioni (massa costante unitaria):  $\ddot{q} = f_t(q)$
  - **velocità** (cinematico al primo ordine):  $\dot{q} = f_t(q)$ 
    - la più usata, nella forma a tempo discreto  $q_{k+1} = q_k + T f_t(q_k)$
- **alternative** nella pianificazione
  - **fuori linea** (con ambiente noto)
  - **in linea** (basato su informazioni sensoriali) in modo **reattivo**, di fatto uno schema in **feedback**!
- gestione dei **minimi locali** (per versione **discretizzata** del metodo)
  - si procede con un metodo best-first (gradiente discreto) e si "riempiono" le celle del bacino locale e/o si effettuano passi casuali (random walk) per uscire dai minimi



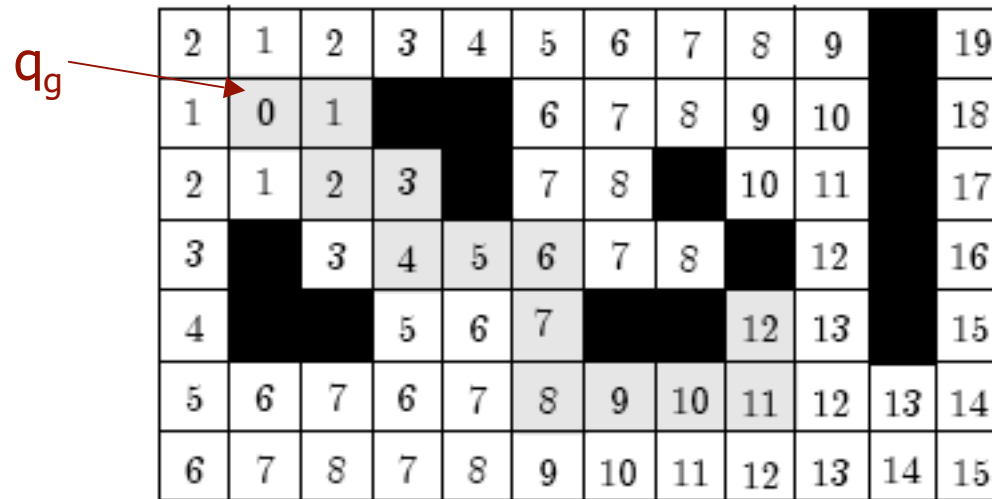
# Funzioni di navigazione

- sono campi potenziali **privi di minimi locali**
  - il goal (sempre **noto a priori**) è l'unico minimo = globale
  - ad es., approssimando i C-ostacoli per eccesso con (iper)sfere **non** si creano minimi (solo **punti di sella**, numericamente "instabili")
    - comunque non completezza dovuta alla riduzione di  $C_{\text{free}}$
- diverse idee (**prive** di minimi o che **riducono** il problema)
  - **uso di diffeomorfismi** (fuori linea)
    - solo per C-ostacoli "stellati", trasformati in ipersfere
  - **campi vorticosi in velocità** (**in linea**)
    - al posto della repulsione, una forza tangenziale alle sue curve di isolivello (rimossa una volta superato l'ostacolo)
  - **uso di geodesiche** sul potenziale artificiale standard (fuori linea)
  - **funzioni armoniche** (fuori linea)
    - soluzioni di equazioni alle derivate parziali con condizioni al contorno
  - **potenziali ellittici** repulsivi che diventano presto isotropi/circolari (**in linea**)



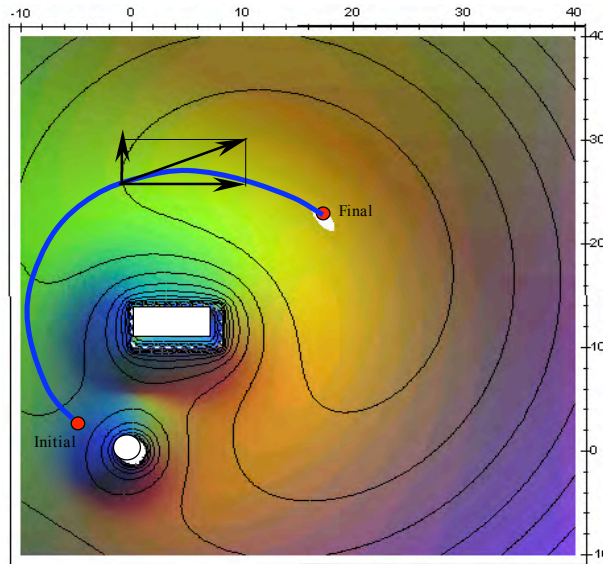
# Potenziali artificiali numerici

- versione **pratica** di funzione di navigazione **priva di minimi**
  - l'uso di una **griglia discreta** evita il carico computazionale tipico delle precedenti funzioni **esatte** di navigazione
  - si procede con una "**wavefront expansion**" dalla cella di goal, etichettata con 0, incrementando l'etichetta di una unità per le celle adiacenti non ancora etichettate...
  - si usa l'1-adiacenza ("Manhattan-distance")





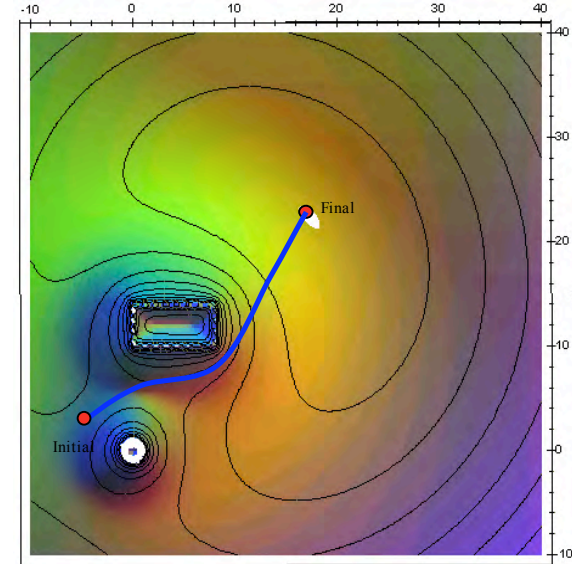
# Esempi di altri metodi



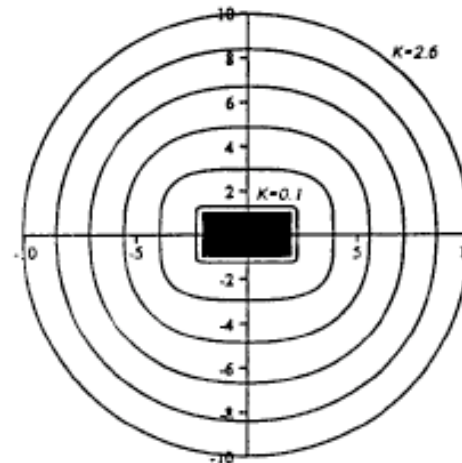
anti-gradiente di  $U_t$

potenziale repulsivo  
ellittico (superquadric)  
indipendente dalla  
forma dell'ostacolo  
a sufficiente distanza

su un potenziale  
totale standard,  
cambiando la  
legge di moto



geodesica su  $U_t$   
curva a minima lunghezza  
nella metrica appropriata

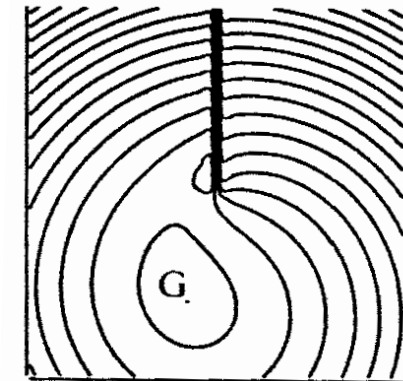
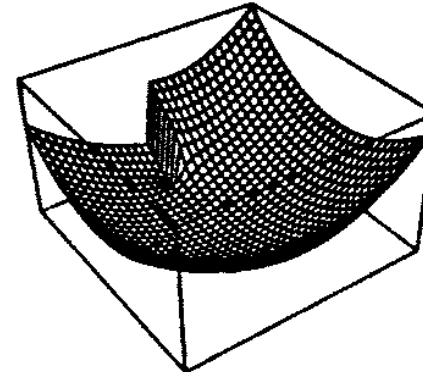
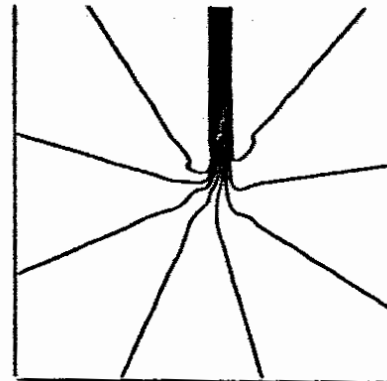
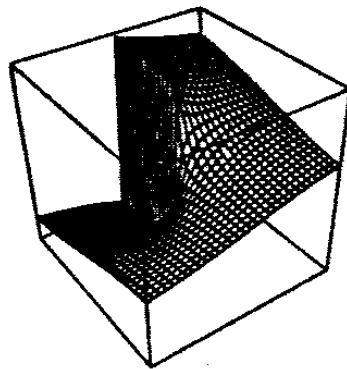




# Campi vorticosi

- si **sostituisce** al gradiente del potenziale ripulsivo, un **campo di velocità** che aggira l'ostacolo (simile ad un vortice nel **moto "ostacolato" di un fluido**)
  - per un ostacolo puntiforme nell'origine, il campo vorticoso di **velocità** (scelto qui con verso **CCW**) è
  - per ostacoli generali, si può costruire a partire dalle curve equipotenziali repulsive (moto **CW/CCW** lungo la **tangente**)

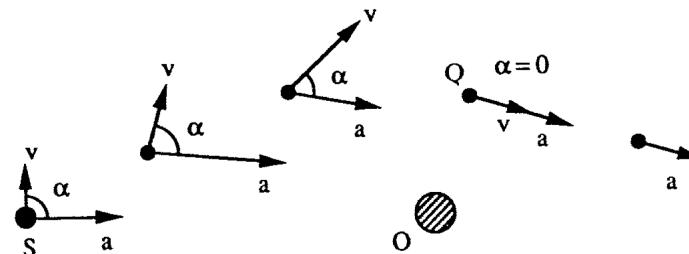
$$V(x, y) = \begin{pmatrix} \frac{x}{\sqrt{x^2 + y^2}} \\ -\frac{y}{\sqrt{x^2 + y^2}} \end{pmatrix}$$



**integrale** del campo vorticoso di velocità e sue curve di isolivello (qui CW)

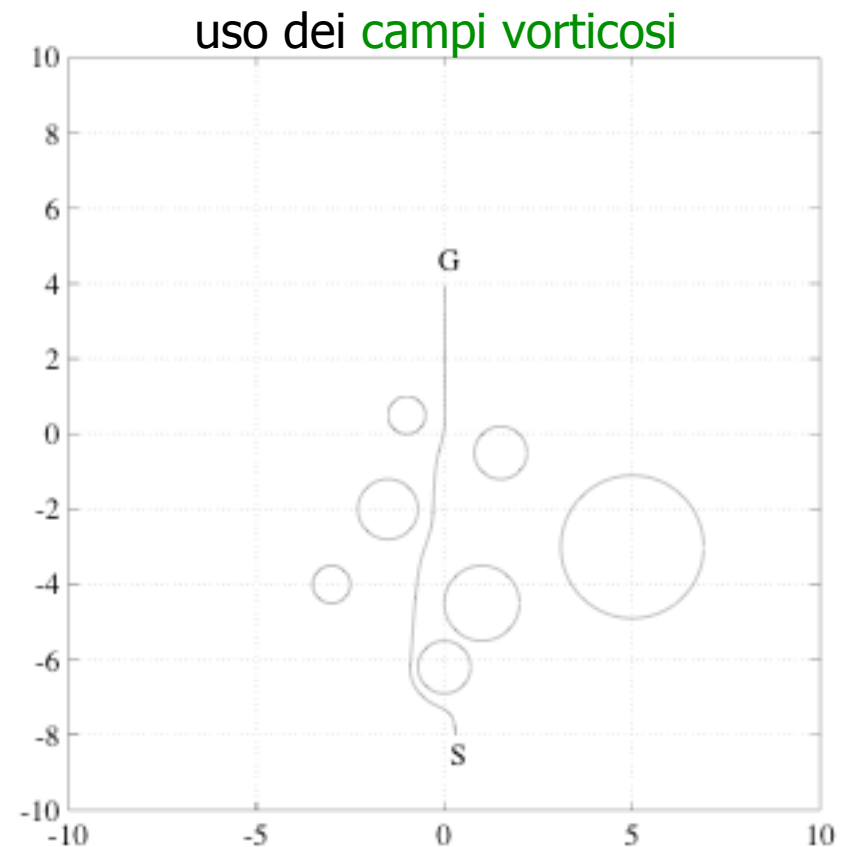
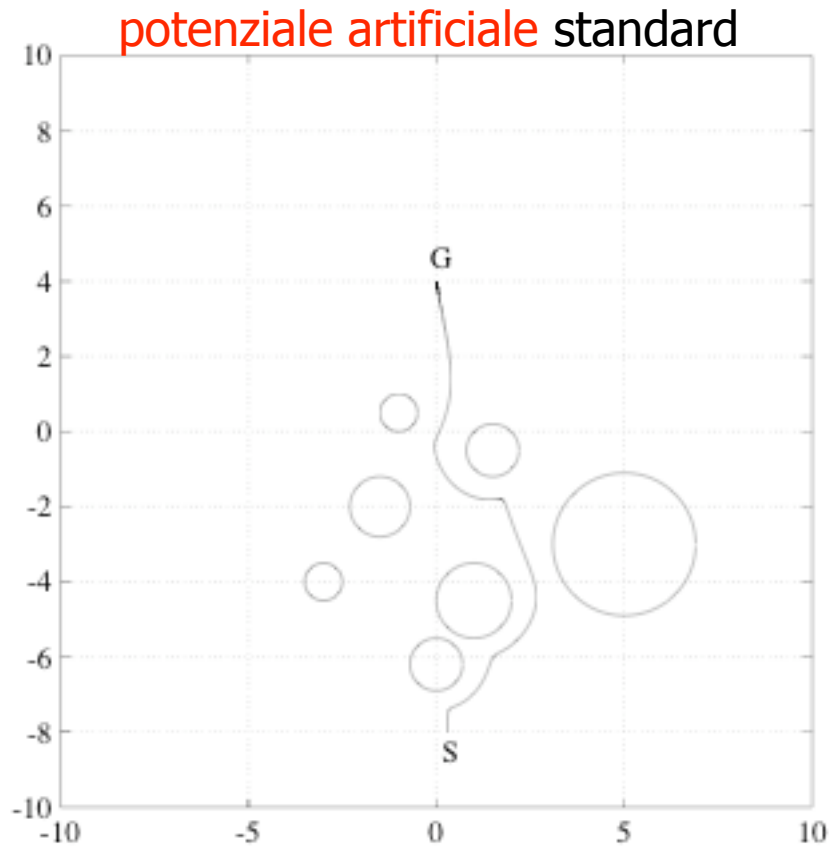
**campo totale** con attrazione al goal e sue curve di isolivello

strategia "a forbice" per la **rimozione** del vortice



# Potenziali vs. Vortici

## robot mobile omnidirezionale



robot puntiforme in  $W=\mathbb{R}^2$  o circolare tra ostacoli circolari in  $C=\mathbb{R}^2$



# Potenziali vs. Vortici

## robot unicycle - 1

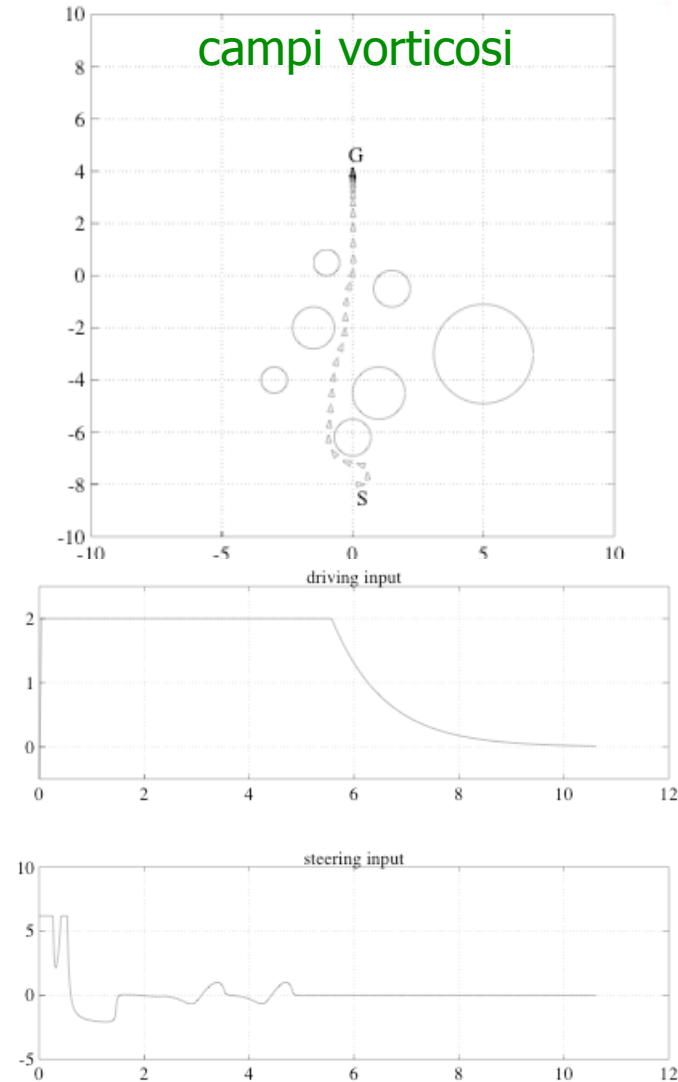
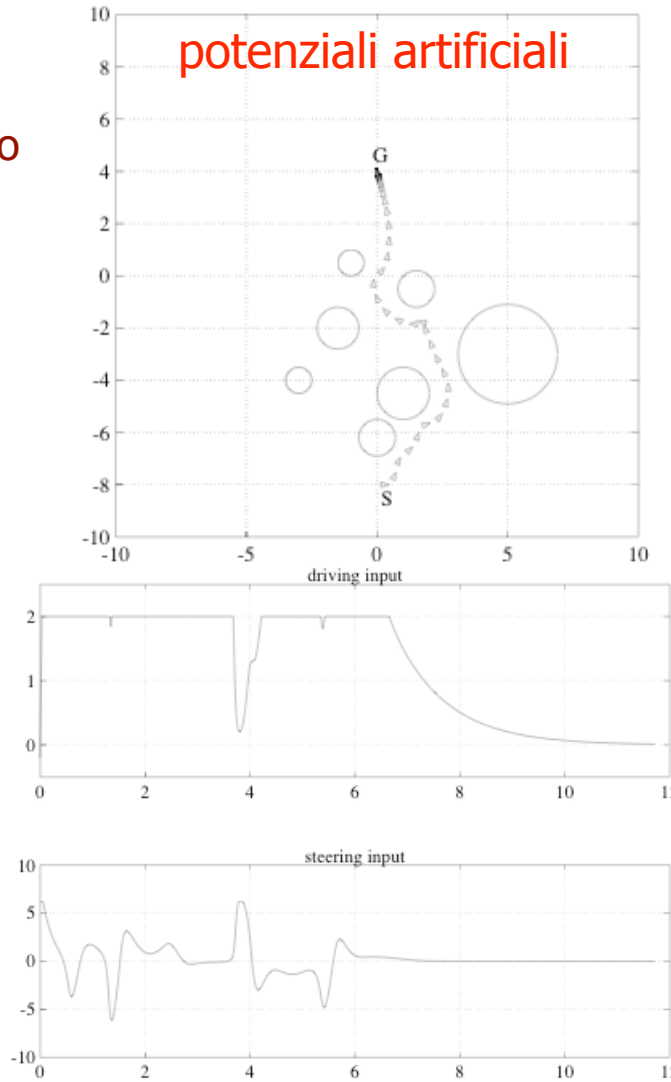


moto diverso  
per orientamento  
iniziale diverso:  
qui,  $\theta(0)=0$

semplice  
legge di  
controllo

$v$  esegue la  
proiezione del  
campo lungo  $\theta$

$\omega$  allinea il  
robot lungo  
il campo

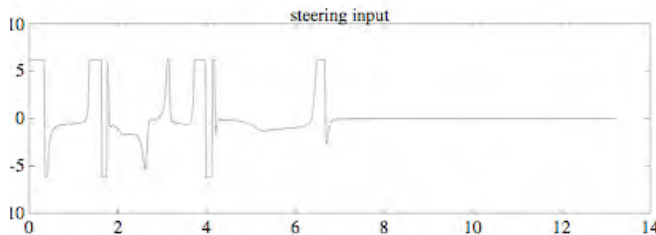
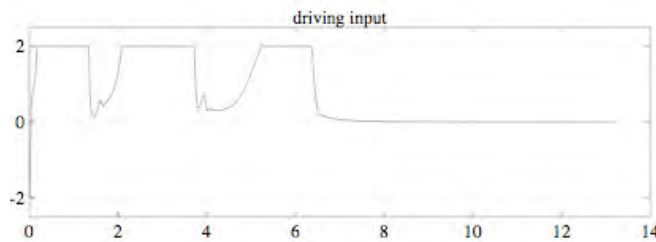
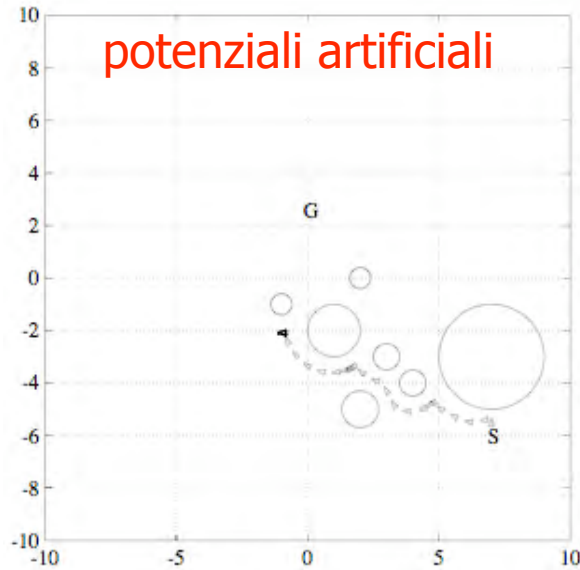


# Potenziali vs. Vortici

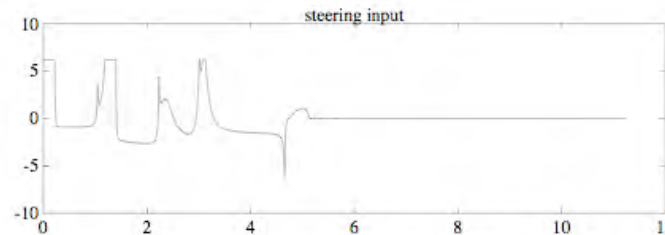
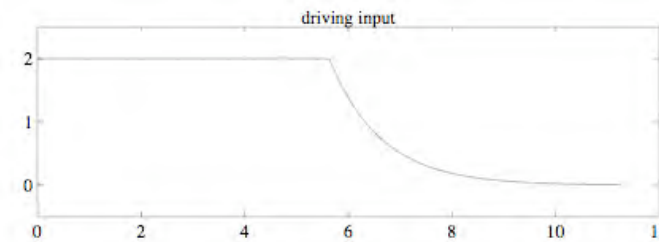
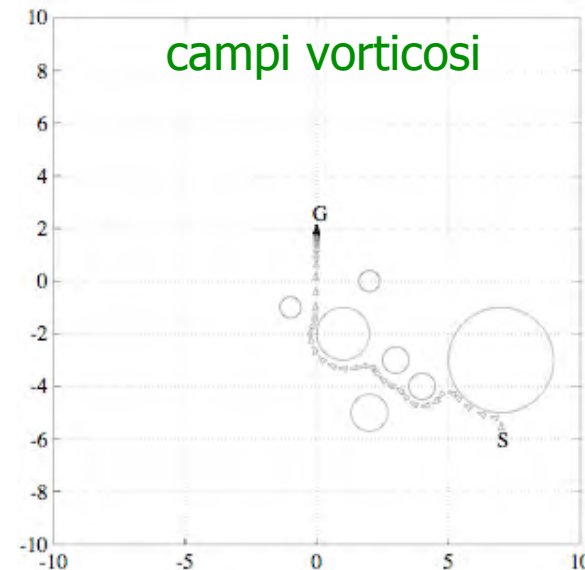
## robot unicycle - 2



fallisce  
per un  
minimo  
locale



completa  
il task con  
successo





# Caso dei robot manipolatori

uso **P punti di controllo** sulla struttura nello **spazio di lavoro W**

$$\dot{q} = - \sum_{i=1}^{P-1} J_i^T(q) \nabla U_r(p_i) - J_P^T(q) \nabla U_t(p_P)$$

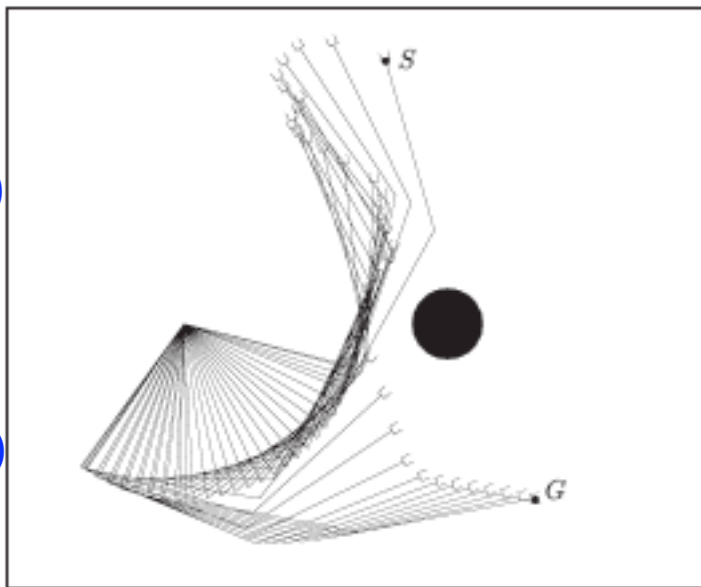
P-1 **repulsivi**    1 **attrattivo** (sull'E-E)

Jacobiani dei  
punti di controllo

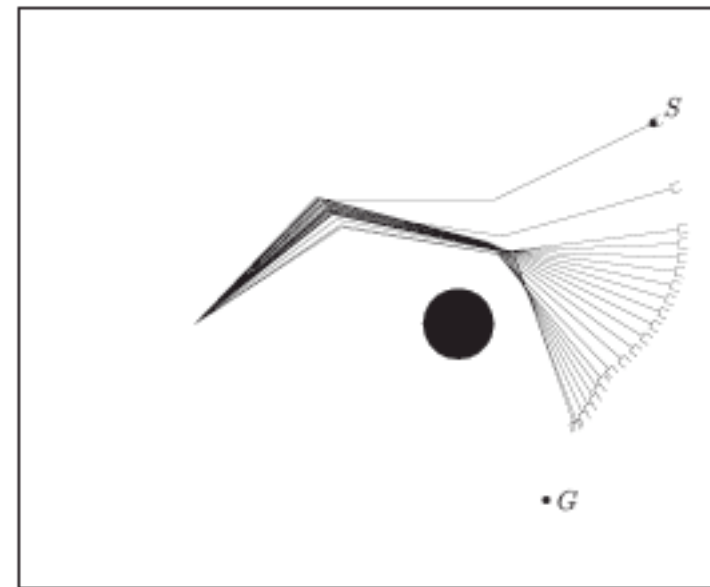
$$\nabla_q U(p_i) = \left( \frac{\partial U(p_i(q))}{\partial q} \right)^T = \left( \frac{\partial U(p_i)}{\partial p_i} \frac{\partial p_i}{\partial q} \right)^T = J_i^T(q) \nabla U(p_i)$$

**C=R<sup>3</sup>**  
(tre giunti)

ma qui  
**W=R<sup>2</sup>**  
(nel piano)



**successo**



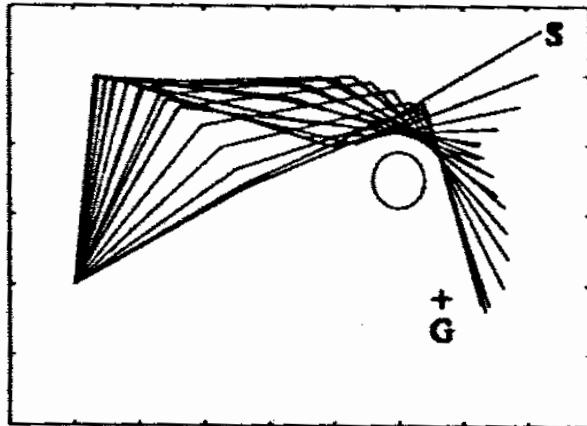
**fallimento**

# Potenziali vs. Vortici in $W=R^2$

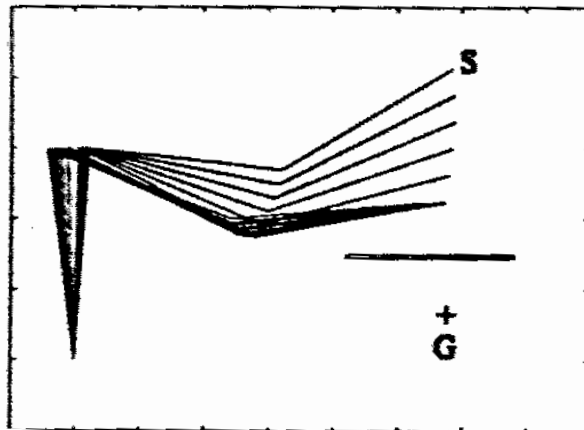
## manipolatore planare 3R



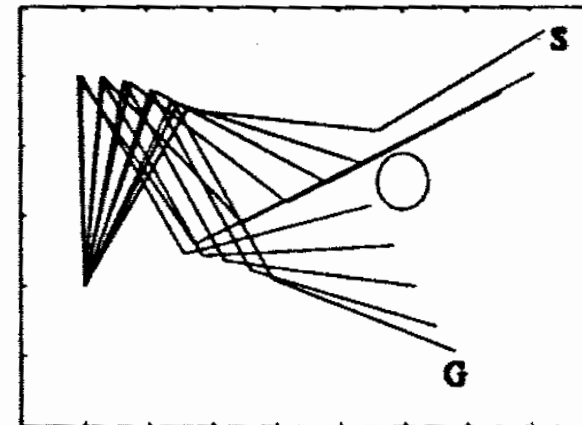
potenziali artificiali



fallimento in entrambi i casi



campi vorticosi



successo (grazie alla scelta CCW: il braccio si "ritrae" verso la base)

